

# 计算机视觉

## 目 录

1	说明	1
2	椭圆的参数估计	1
3	归一化	2
4	去归一化	2
5	SVD初始化	3
6	Sampson error	4
7	Gauss-Newton迭代	5
8	编码与实现	7
A	实现代码	9

## 1 说明

这份文档主要关注对椭圆参数的基础矩阵估计过程。总结主要的实践与问题。按照原先课堂上的说明对基础矩阵估计的具体编程实现。主体过程如下：

1. 归一化，椭圆质心原点化以及放缩
2. SVD或者LS初始化，对椭圆的初始参数进行设定
3. Sampson error计算，以及使用Gauss-Newton迭代进行计算
4. 去归一化，坐标还原

## 2 椭圆的参数估计

通过给定的数据点，进行椭圆的参数估计并绘出椭圆。椭圆方程如下：

$$[x^2, y^2, xy, x, y, 1][a, b, c, d, e, f]^T = 0$$

需要根据给定的点坐标，对 $a, b, c, d, e, f$ 进行估计。同时可以令常数项 $f$ 为1。这样即需要估计5个参数的值。

通过构造数据点 $(x_i, y_i)$ 的向量：

$$\mathbf{w}_i = [x_i^2, y_i^2, x_i y_i, x_i, y_i, 1]$$

所以所有点的生成的矩阵 $\mathbf{W}$ 为：

$$\mathbf{W} = [\mathbf{w}_1^T; \mathbf{w}_2^T; \dots; \mathbf{w}_n^T]^T$$

这样椭圆的参数估计问题变为求解方程组：

$$\mathbf{W}[a, b, c, d, e, f]^T = 0$$

这个方程的解存在三种情况：

- a 少于5个线性无关约束，意味着方程有无穷多解。
- b 等于5个线性无关约束，存在唯一解。
- c 大于5个线性无关约束，只存在近似解。

当大于5个线性无关约束情况下可以通过SVD或者LS进行一般估计，特别是在误差较小的情况下。

### 3 归一化

进行数据归一化，可以提高计算的精度。主要为两个过程：

- 中心平移：即估计当前椭圆的中心点 $(c_1, c_2)$ ，对 $x$ 和 $y$ 坐标进行移动。使得椭圆中心在原点上。一般 $(c_1, c_2)$ 取椭圆的质心。
- 距离放缩：即对平移后的坐标进行放缩，具体如下，取 $s = \sqrt{(\sum_{i=1}^n x_i^2 + y_i^2) / 2n}$ ， $x = x/s$ 和 $y = y/s$ 。

尽管，归一化一定程度上可以减小误差，但是在实际的计算中，影响更大的是点在椭圆的范围分布，如果点只在椭圆某一部分密集集中，一般估计效果都不好，而且通过质心估算的中心位置非常不准确，同样的放缩也会一样的不准确。

### 4 去归一化

因为归一化使得 $x$ 和 $y$ 的坐标值发生了改变，但估计出最终的参数值时需要将各个参数还原到原有的坐标上。具体的还原转换式子如下：

$$a = a_0/s^2$$

$$b = b_0/s^2$$

$$c = c_0/s^2$$

$$d = d_0/s - 2a_0 * c_1/s^2 - c_0 * c_2/s^2$$

$$e = e_0/s - 2 * b_0 * c_2/s^2 - c_0 * c_1/s^2$$

$$f = f_0 + a_0 * c_1^2/s^2 + c_0 * c_1 * c_2/s^2 + b_0 * c_2^2/s^2 - d_0 * c_1/s - e_0 * c_2/s$$

这个式子在ppt上略有错误，参照上下文的话。因为一般的椭圆参数方程写写成：

$$[x^2, xy, y^2, x, y, 1][a, b, c, d, e, f]^T = 0$$

而ppt上的参数格式是基于：

$$[x^2, y^2, xy, x, y, 1][a, b, c, d, e, f]^T = 0$$

这两者还有有些区别的，特别是在去归一化上，参数的 $b$ 和 $c$ 的位置不同。这样因为位置不同而表达方式不同之处，有不少地方都出现了，这篇文章全是基于第二个表达方程的。

## 5 SVD初始化

首先需要说明为什么SVD可以进行近似估计和如何选取最终估计值。由第2节的参数说明可以知道：

$$\mathbf{W}[a, b, c, d, e, f]^2 = 0$$

需要找到一组近似解来对 $a, b, c, d, e, f$ 进行初始化赋值。SVD可以很好的完成这个任务。目标函数为：

$$\min \left( \sum_{i=1}^n \mathbf{W}_i \mathbf{x} \right)^2$$

展开形式为：

$$\min \mathbf{x}^T \mathbf{W}^T \mathbf{W} \mathbf{x}$$

令 $\mathbf{M} = \mathbf{W}^T \mathbf{W}$ ，且规范化令

$$\|\mathbf{x}\| = 1$$

。原始目标函数变为：

$$\begin{aligned} \min \quad & \mathbf{x}^T \mathbf{M} \mathbf{x} \\ \text{s.t.} \quad & \|\mathbf{x}\| = 1 \end{aligned}$$

使用拉格朗日乘数法，令

$$f(x) = \mathbf{x}^T \mathbf{M} \mathbf{x} - \lambda(\mathbf{x}^T \mathbf{x} - 1) = 0$$

求偏导：

$$\frac{\partial f}{\partial \mathbf{x}} = \mathbf{M} \mathbf{x} + \lambda \mathbf{x} = 0$$

即得：

$$\mathbf{M} \mathbf{x} = \lambda \mathbf{x}$$

又由SVD分解可得：

$$\mathbf{M} = \mathbf{V} \mathbf{\Lambda}^2 \mathbf{V}^T$$

取奇异值最小的对于的 $\mathbf{V}$ 的向量得到：

$$\mathbf{M} \mathbf{v}_k = \sigma_k^2 \mathbf{u}_k$$

使得目标函数得到近似的最小值， $\sigma_k$ 为最小奇异值。这样可以使得乘积逼近零。

或者直接用 $\mathbf{W} \mathbf{v}_k = \sigma_k \mathbf{u}_k$ 也是成立的。但是一般 $\mathbf{x}$ 的估计值与这里的不同，当然如果仅作为迭代的初始值，也足够了。

## 6 Sampson error

问题即最小化真实值与实际值之间的差别。即：

$$\min_{f(\hat{\mathbf{x}}_i)=0} \sum \left\| \mathbf{x}_i - \hat{\mathbf{x}}_i \right\|^2$$

要最小化目标函数，得到最优的系数解。

一阶泰勒展开：

$$f(\mathbf{x} + \delta \mathbf{x}) = f(\mathbf{x}) + \frac{\partial f}{\partial \mathbf{x}} \delta \mathbf{x}$$

又  $\hat{\mathbf{x}} = \mathbf{x} + \delta \mathbf{x}$  且  $f(\hat{\mathbf{x}}) = 0$  由一阶展开式可得：

$$\mathbf{J}^T \delta \mathbf{x} = -\varepsilon$$

其中  $\mathbf{J} = \frac{\partial f}{\partial \mathbf{x}}$ ,  $\varepsilon = f(\mathbf{x})$  原问题可以转化为：

$$\min_{\mathbf{J}^T \delta \mathbf{x} = -\varepsilon} \left\| \delta \mathbf{x} \right\|^2$$

使用拉格朗日乘数法带入：

$$\left\| \delta \mathbf{x} \right\|^2 + 2\lambda(\mathbf{J}^T \delta \mathbf{x} + \varepsilon)$$

对  $\mathbf{x}$  求偏导，取偏导为零：

$$\delta \mathbf{x} + \lambda \mathbf{J} = \mathbf{0}$$

可得：

$$\delta \mathbf{x} = -\lambda \mathbf{J}$$

带回  $\mathbf{J}^T \delta \mathbf{x} = -\varepsilon$  可得：

$$\lambda = (\mathbf{J}^T \mathbf{J})^{-1} \varepsilon$$

带回  $\delta \mathbf{x} + \lambda \mathbf{J} = \mathbf{0}$ , 解之得：

$$\delta \mathbf{x} = -\varepsilon (\mathbf{J}^T \mathbf{J})^{-1} \mathbf{J}$$

所以，

$$\left\| \delta \mathbf{x} \right\|^2 = (\delta \mathbf{x})^T \delta \mathbf{x} = (\varepsilon^2 (\mathbf{J}^T \mathbf{J})^{-1} \mathbf{J})^T (\mathbf{J}^T \mathbf{J})^{-1} \mathbf{J}$$

化简：

$$\left\| \delta \mathbf{x} \right\|^2 = \frac{\left\| \varepsilon \right\|^2}{\mathbf{J}^T \mathbf{J}}$$

最终Sampson error为：

$$\sum_i \frac{\left\| \varepsilon_i \right\|^2}{\mathbf{J}_i^T \mathbf{J}_i}$$

## 7 Gauss-Newton迭代

计算Sampson error的具体表达形式:

$$\sum_i \frac{\|\varepsilon_i\|^2}{\mathbf{J}_i^T \mathbf{J}_i}$$

由定义,  $f(x) = \varepsilon$  且  $f(x) = \mathbf{W}\mathbf{p}$  所以可得:

$$\|\varepsilon_i\|^2 = \mathbf{p}^T \mathbf{w}_i^T \mathbf{w}_i \mathbf{p}$$

且令  $\mathbf{A}_i = \mathbf{w}_i^T \mathbf{w}_i$ , 这里的  $\mathbf{p} = [a, b, c, d, e, f]^T$ 。

继续求解  $J_i$  表达式:

$$f(x, y) = ax^2 + by^2 + cxy + dx + ey + f$$

分别对  $x$  和  $y$  求偏导得到:

$$\mathbf{J}_i = \begin{bmatrix} \frac{\partial f(x, y)}{\partial x} \\ \frac{\partial f(x, y)}{\partial y} \end{bmatrix}$$

所以可得:

$$\mathbf{J}_i = \begin{bmatrix} 2ax + cy + d \\ 2by + cx + e \end{bmatrix} = \begin{bmatrix} 2x & 0 & y & 1 & 0 & 0 \\ 0 & 2y & x & 0 & 1 & 0 \end{bmatrix} [a, b, c, d, e, f]^T$$

于是令:

$$\mathbf{B}_i = \begin{bmatrix} 2x & 0 & y & 1 & 0 & 0 \\ 0 & 2y & x & 0 & 1 & 0 \end{bmatrix}^T \begin{bmatrix} 2x & 0 & y & 1 & 0 & 0 \\ 0 & 2y & x & 0 & 1 & 0 \end{bmatrix}$$

可将原Sampson error化为:

$$obj = \sum_i \frac{\mathbf{p}^T \mathbf{A}_i \mathbf{p}}{\mathbf{p}^T \mathbf{B}_i \mathbf{p}}$$

进而表示为2范式形式为:

$$obj = \sum_i \left( \frac{\mathbf{w}_i \mathbf{p}}{\sqrt{\mathbf{p}^T \mathbf{B}_i \mathbf{p}}} \right)^2$$

对目标函数进行一阶偏导展开:

$$\nabla_{\mathbf{p}} obj = 2 \sum_i \left( \frac{\mathbf{w}_i \mathbf{p}}{\sqrt{\mathbf{p}^T \mathbf{B}_i \mathbf{p}}} \right) \left( \frac{(\mathbf{w}_i \mathbf{p})'}{\sqrt{\mathbf{p}^T \mathbf{B}_i \mathbf{p}}} - \frac{1}{2} \frac{\mathbf{w}_i \mathbf{p}}{(\sqrt{\mathbf{p}^T \mathbf{B}_i \mathbf{p}})^3} (\mathbf{p}^T \mathbf{B}_i \mathbf{p})' \right)$$

由前文的定义可以知道:  $\mathbf{w}_i \mathbf{p}$  和  $\mathbf{p}^T \mathbf{B}_i \mathbf{p}$  均为  $1 \times 1$  矩阵, 需要对向量  $\mathbf{p}$  进行求导。可以使用如下几个公式:

$$tr \mathbf{a} = a$$

$$tr \mathbf{AB} = tr \mathbf{BA}$$

$$\nabla_{\mathbf{A}^T} f(\mathbf{A}) = (\nabla_{\mathbf{A}} f(\mathbf{A}))^T$$

$$\nabla_{\mathbf{A}} tr \mathbf{AB} = \mathbf{B}^T$$

$$\nabla_{\mathbf{A}} tr \mathbf{ABA}^T \mathbf{C} = \mathbf{CAB} + \mathbf{C}^T \mathbf{AB}^T$$

所以对于 $\mathbf{w}_i \mathbf{p}'$ 得:

$$(\mathbf{w}_i \mathbf{p})' = \nabla_{\mathbf{p}} \text{tr } \mathbf{w}_i \mathbf{p} = \mathbf{w}_i^T$$

同样对于 $(\mathbf{p}^T \mathbf{B}_i \mathbf{p})'$

$$(\mathbf{p}^T \mathbf{B}_i \mathbf{p})' = (\nabla_{\mathbf{p}^T} \text{tr } \mathbf{p}^T \mathbf{B}_i \mathbf{p} I)^T = (\mathbf{I} \mathbf{p}^T \mathbf{B}_i + \mathbf{I} \mathbf{p}^T \mathbf{B}_i^T)^T = \mathbf{B}_i^T \mathbf{p} + \mathbf{B}_i \mathbf{p}$$

又 $\mathbf{B}_i$ 为对称矩阵, 所以化简为:

$$(\mathbf{p}^T \mathbf{B}_i \mathbf{p})' = 2\mathbf{B}_i \mathbf{p}$$

带回原始目标函数一阶偏导可得:

$$\nabla_{\mathbf{p}} \text{obj} = 2 \sum_i \left( \frac{\mathbf{w}_i \mathbf{p}}{\sqrt{\mathbf{p}^T \mathbf{B}_i \mathbf{p}}} \right) \left( \frac{\mathbf{w}_i^T}{\sqrt{\mathbf{p}^T \mathbf{B}_i \mathbf{p}}} - \frac{\mathbf{w}_i \mathbf{p}}{(\sqrt{\mathbf{p}^T \mathbf{B}_i \mathbf{p}})^3} \mathbf{B}_i \mathbf{p} \right)$$

有文献[1] 可得到Gauss-Newton Hessian矩阵的表示形式:

$$f(\theta) = \sum_i f_i(\mathbf{x}_i; \theta) = r^2(\mathbf{x}_i; \theta)$$

$$H_{GN} = 2 \sum \frac{\partial \mathbf{r}_i}{\partial \theta} \left( \frac{\partial \mathbf{r}_i}{\partial \theta} \right)^T$$

在本文中, 令:

$$\nabla_{\mathbf{p}} \text{obj} = 2 \sum_i \left( \frac{\mathbf{w}_i \mathbf{p}}{\sqrt{\mathbf{p}^T \mathbf{B}_i \mathbf{p}}} \right) \left( \frac{\mathbf{w}_i^T}{\sqrt{\mathbf{p}^T \mathbf{B}_i \mathbf{p}}} - \frac{\mathbf{w}_i \mathbf{p}}{(\sqrt{\mathbf{p}^T \mathbf{B}_i \mathbf{p}})^3} \mathbf{B}_i \mathbf{p} \right) = 2 \sum_i \left( \frac{\mathbf{w}_i \mathbf{p}}{\sqrt{\mathbf{p}^T \mathbf{B}_i \mathbf{p}}} \right) \mathbf{b}_i$$

其中 $\mathbf{b}_i = \frac{\mathbf{w}_i^T}{\sqrt{\mathbf{p}^T \mathbf{B}_i \mathbf{p}}} - \frac{\mathbf{w}_i \mathbf{p}}{(\sqrt{\mathbf{p}^T \mathbf{B}_i \mathbf{p}})^3} \mathbf{B}_i \mathbf{p}$  所以Gauss-Newton Hessian矩阵形式为:

$$H_{GN} = 2 \sum_i \mathbf{b}_i \mathbf{b}_i^T$$

梯度向量

$$\mathbf{b} = \nabla_{\mathbf{p}} \text{Obj} = 2 \sum_i \left( \frac{\mathbf{w}_i \mathbf{p}}{\sqrt{\mathbf{p}^T \mathbf{B}_i \mathbf{p}}} \right) \mathbf{b}_i$$

所以参数 $\mathbf{p}$ 的更新方程为:

$$\mathbf{p} = \mathbf{p} - H^{-1} \mathbf{b}$$

## 8 编码与实现

编码主要通过人为设定长轴以，短轴，椭圆中心以及旋转角度等生成椭圆数据，同时加入高斯噪声。之后再用之前提到的方法使用SVD初始化进行牛顿迭代计算出最终的椭圆拟合方程。

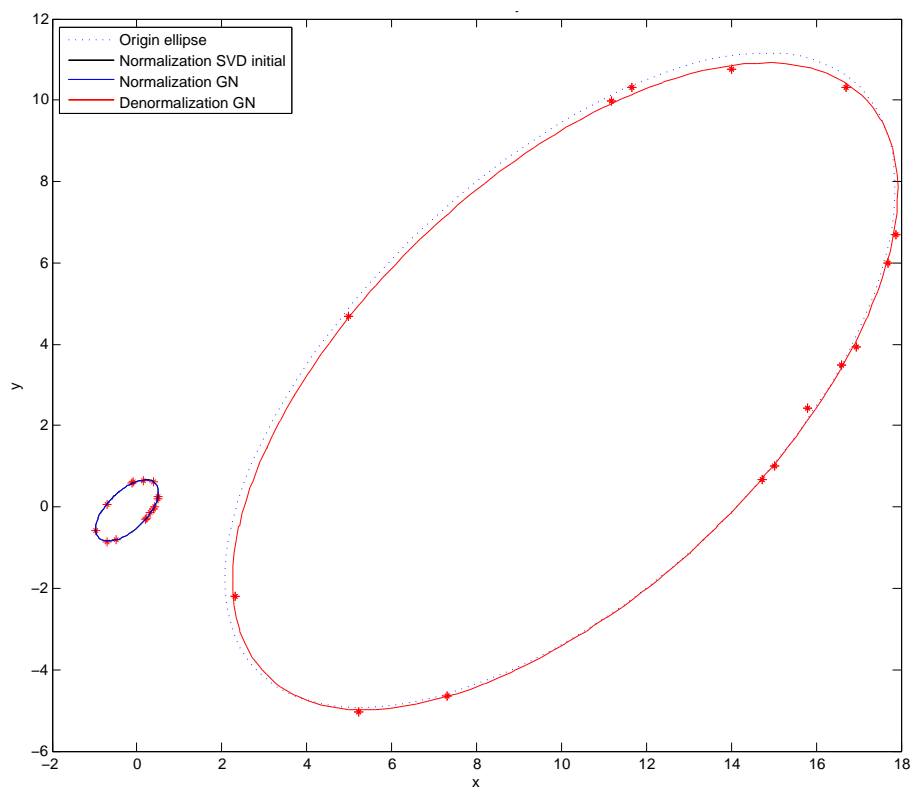


图 1 ABC轨迹和碰面示例

如图1所示，使用15个点作出的椭圆。使用文件graph.m即可生成这幅图像。



## 参考文献

- [1] P. Chen, Hessian matrix vs. Gauss-Newton Hessian matrix, SIAM J. Numerical Analysis, vol. 49, no. 4, pp. 1417-1435, 2011.
- [2] 李航.统计学习方法.北京:清华大学出版社.2012.p218-219

## 1 实现代码

生成 $x$ 和 $y$ 轴的高斯噪声。二者是独立的。

```
1  n = 40;
2  X = normrnd(0,0.1,[n,1]);
3  fid = fopen('normrndxdata','w');
4  for i = 1:1:n
5      fprintf(fid, '%f\ ',X(i));
6  end
7  fclose(fid);
8  Y = normrnd(0,0.1,[n,1]);
9  fid = fopen('normrndydata','w');
10 for i = 1:1:n
11     fprintf(fid, '%f\ ',Y(i));
12 end
13 fclose(fid);
```

生成椭圆点的随机数据。

```
1  n = 40;
2  % 设置随机数种子
3  ctime = datestr(now, 30);
4  tseed = str2double(ctime((length(ctime) - 5) : end)) ;
5  rng(tseed);
6  T = rand(n,1);
7  fid = fopen('randdata','w');
8  for i = 1:1:n
9      fprintf(fid, '%f\ ',T(i));
10 end
11 fclose(fid);
```

生成椭圆数据，加入噪声。

```
1  n = 40; % 取样点个数
2  A = zeros(n,2);
3  angle = 2 * pi;
4  theta = 45;
5  R = [cosd(theta) -sind(theta);
```

```

6         sind(theta) cosd(theta)]; % 旋转矩阵
7  a = 10; % 长轴长
8  b = 5; % 短轴长
9
10 Ox = 2;
11 Oy = 3;
12 % 读入随机数, 省的每次生成的不同。固定随机数
13 fid = fopen('randdata','rt');
14 T= fscanf(fid, '%f',[n,1]);
15 fclose(fid);
16 % 读入随机数, 省的每次生成的不同。固定随机数
17 fid = fopen('normrndxdata','rt');
18 X= fscanf(fid, '%f',[n,1]);
19 fclose(fid);
20 % 读入随机数, 省的每次生成的不同。固定随机数
21 fid = fopen('normrndydata','rt');
22 Y= fscanf(fid, '%f',[n,1]);
23 fclose(fid);
24 %要先旋转后平移, 才能保证和的数据一致。可能跟函数的具体实现过程相关 ellipse1
25 for i = 1:n
26     t = T(i) *angle;
27     x = a*sin(t) + X(i);
28     y = b*cos(t) + Y(i);
29     A(i,:)=(R*[x;y])';
30     A(i,1)=A(i,1)+Ox;
31     A(i,2)=A(i,2)+Oy;
32 end
33 plot(A(:,1),A(:,2),'r*');
34 fid = fopen('eclipse_data','w');
35 fprintf(fid, '%f_ %f_',A(:,1),A(:,2));
36 fclose(fid);
37 hold on
38 ecc = axes2ecc(a,b); % 根据长半轴和短半轴计算椭圆偏心率
39 [elat,elon] = ellipse1 (Ox,Oy,[a ecc],theta);

```

```

40     col=plot(elat,elon,'c-')
41     hleg=legend(col,'Origin_ellipse')
42     set(hleg,'Location','NorthWest')

```

使用SVD初始化，并用Gaussian-Newton迭代，绘制图片。

```

1  n = 15; % 取样点个数
2  A = zeros(n,2);
3  angle =2 *pi;
4  theta = 45;
5  R = [cosd(theta) -sind(theta);
6       sind(theta) cosd(theta)]; % 旋转矩阵
7  a = 10; % 长轴长
8  b = 5; % 短轴长
9
10 Ox =10;
11 Oy = 3;
12 % 读入随机数，省的每次生成的不同。固定随机数
13 fid = fopen('randdata','rt');
14 T= fscanf(fid, '%f',[n,1]);
15 fclose(fid);
16 % 读入随机数，省的每次生成的不同。固定随机数
17 fid = fopen('normrndxdata','rt');
18 X= fscanf(fid, '%f',[n,1]);
19 fclose(fid);
20 % 读入随机数，省的每次生成的不同。固定随机数
21 fid = fopen('normrndydata','rt');
22 Y= fscanf(fid, '%f',[n,1]);
23 fclose(fid);
24 %要先旋转后平移，才能保证和的数据一致。可能跟函数的具体实现过程相关ellipse1
25 for i = 1:1:n
26     t = T(i) *angle;
27     x = a*sin(t) + X(i);
28     y = b*cos(t) + Y(i) ;
29     A(i,:)=(R*[x;y])';
30     A(i,1)=A(i,1)+Ox;

```

```

31     A(i,2)=A(i,2)+Oy;
32 end
33 plot(A(:,1),A(:,2),'r*');
34 fid = fopen('eclipse_data','w');
35 fprintf(fid, '%f_ %f_',A(:,1),A(:,2));
36 fclose(fid);
37 hold on
38 ecc = axes2ecc(a,b); % 根据长半轴和短半轴计算椭圆偏心率
39 [elat,elon] = ellipse1(Ox,Oy,[a ecc],theta);
40 col=plot(elat,elon,'b:');
41 hleg=legend(col,'Origin_ellipse')
42 set(hleg,'Location','NorthWest')
43 % 读入随机数, 省的每次生成的不同。固定随机数
44 fid = fopen('eclipse_data','rt');
45 D = fscanf(fid, '%f_ %f',[n,2]);
46 fclose(fid);
47 hold on
48 plot(D(:,1),D(:,2),'r*');
49 DN = zeros(n,2);
50
51 % 计算平均距离和, 进行过程 SNormalization
52 x_mean = 0;
53 y_mean = 0;
54 dist_mean = 0;
55 for i = 1:1:n
56     x_mean = x_mean + D(i,1);
57     y_mean = y_mean + D(i,2);
58     dist_mean = dist_mean + D(i,1)^2+D(i,2)^2;
59 end
60 x_mean = x_mean /n;
61 y_mean = y_mean/n;
62 dist_mean =sqrt( dist_mean/(2*n));
63 for i = 1:1:n
64     D(i,1)=(D(i,1) - x_mean)/dist_mean;

```

```

65     D(i,2) =(D(i,2) - y_mean)/dist_mean;
66 end
67 hold on
68 plot(D(:,1),D(:,2), 'r*');
69
70 W = zeros(n,6);
71 for i = 1:1:n
72     xi = D(i,1);
73     yi = D(i,2);
74     w= [xi^2,yi^2,xi*yi,xi,yi,1];
75     W(i,:) =w;
76 end
77 [u,s ,v] = svd(W);
78 v6 = v(:,6);
79 a = v6(1);b=v6(2);c=v6(3);d=v6(4);e=v6(5);f=v6(6);
80 hold on
81 str = sprintf('%0.8f*x^2_%0.8f*y^2+_%0.8f*x*y+_%0.8f*x+_%0.8f*y+_%0.8f=_0',a,b,c,d,e,f);
82 coll = ezplot(str,[-10,10]);
83 set(coll , 'Color', 'k')
84 p = v6;
85 H = zeros(6,6);
86 iterate = 1000;
87 Obj = 0;
88 for it = 1:1:iterate
89     Obj1 = Obj;
90     for i = 1:1:n
91         wi = W(i,:);
92         Ai = p'*wi'*wi*p;
93         j = [D(i,1)*2, 0, D(i,2),1, 0, 0;
94             0, D(i,2)*2, D(i,1), 0, 1, 0];
95         Ji = j*p;
96         Bi = j'*j;
97         De = sqrt(p'*Bi*p);
98         bi = wi'/De - wi*p*Bi*p/(De^3);

```

```

99      H = H + 2*bi*bi';
100     b = b + wi*p*bi/De;
101     Obj = Obj + (wi*p)^2/De;
102     end
103
104     for i = 1:1:6
105         for k = 1:1:6
106             if(H(i,k) < 0)
107                 H(i,k) = 0;
108             end
109         end
110     end
111     HI = inv(H);
112     p = p - HI*b
113     if (abs(Obj-Obj1) < 0.0001) % 两次迭代目标值改变量
114         break;
115     end
116
117 end
118
119 a = p(1);b=p(2);c=p(3);d=p(4);e=p(5);f=p(6);
120
121 hold on
122 str = sprintf('%0.8f*x^2+%0.8f*y^2+%0.8f*x*y+%0.8f*x+%0.8f*y+%0.8f=',a,b,c,d,e,f);
123 col2 = ezplot(str,[-10,10]);
124 set(col2 , 'Color', 'b')
125
126 s = dist_mean;
127 c1=x_mean;
128 c2=y_mean;
129 a = p(1);b=p(2);c=p(3);d=p(4);e=p(5);f=p(6);
130 % 上系数次序与之前的略有不同就是，和有  $pptxy$  谁排第
    二。 $\hat{x}$ 上  $ppt$   $DE-normalization$  是  $x^2+xy+y^2+x+y+f$ 
131 % 这次编程使用的顺序是  $xi^2, yi^2, xi*yi, xi, yi, 1$ 

```

```

132  a0 = a/s^2;
133  b0 = b/s^2;
134  c0 =c/s^2;
135  d0 = d/s-(2*a*c1)/s^2 - (c*c2)/s^2;
136  e0 = e/s -(2*b*c2)/s^2 - (c*c1)/s^2;
137  f0 = f + (a*c1^2)/s^2 + (c*c1*c2)/s^2+(b*c2^2)/s^2-(d*c1)/s-(e*c2)/s;
138  str0 = sprintf('.8f*x^2+.8f*y^2+_.8f*x*y+_.8f*x+_.8f*y+_.8f=_.0',a0,b0,c0,d0,e0
    ,f0);
139  col3 = ezplot(str0,[-40,40]);
140  set(col3 , 'Color', 'r')
141  hleg=legend([col,col1,col2,col3], 'Origin_ellipse ', 'Normalization_SVD_initial',
    Normalization_GN', 'Denormalization_GN')
142  set(hleg, 'Location', 'NorthWest')

```